

تأثیر سیمان و زئولیت در مقاومت برشی زهکشی نشده‌ی خاک متورم‌شونده

حامد احمدی چهاربندی (دکتری)

سید حمید لاجوردی (استادیار)

دانشکده‌ی مهندسی عمران، دانشگاه آزاد اسلامی، واحد اراک

حسین ملا عباسی * (استادیار)

دانشکده‌ی فنی مهندسی، دانشگاه گیبد کاووس

علی شورکووند (استادیار)

دانشکده‌ی مهندسی عمران، دانشگاه آزاد اسلامی، واحد پیشوای

مهمنگی عمران شریف، (پیاپی ۱۴۰) دوری ۲ - ۳، شماره ۲ / ۳، ص. ۱۱-۴۵، (پژوهشی)

سالانه بسیاری از سازه‌ها بر خاک‌های متورم‌شونده ساخته می‌شوند، که دچار صدمه‌های جزئی، مانند انواع ترک‌های وارد شده و صدمات غیرقابل ترمیم می‌شوند. در پژوهش حاضر، از سیمان به عنوان تثبیت‌کننده خاک پایه و از زئولیت به عنوان ماده پوزولانی جایگزین بخشی از سیمان استفاده شده است. از این‌رو، در صدهای مختلف سیمان ۸۶، ۱۰ و ۱۲ درصد با مقادیر مختلف جایگزینی آنها با درصد های مختلف زئولیت (۱۵، ۳۰، ۵۰، ۷۰ و ۹۰ درصد) برای ساخت نمونه‌ها استفاده شده است در ادامه، با استفاده از نتایج آزمون‌ها می‌توان بیان کرد که بهترین خواص ژئوتکنیکی در این آزمون‌ها از قبیل مقاومت فشاری محصور نشده و سه محوری تحکیم‌بیان‌های زهکشی نشده در نمونه‌ی تثبیت شده با ۱۲٪ سیمان و جایگزینی ۳۰٪ زئولیت پس از ۲۸ روز عمل آوری حاصل شد. از سویی دیگر می‌توان بیان کرد که ۳٪ مقدار بهینه‌ی جایگزینی سیمان با زئولیت است. همچنین، افزایش زمان عمل آوری موجب تأثیر بیشتر سیمان و جایگزینی زئولیت در بهبود پارامترهای مقاومتی شده است. تصاریف میکروسکوپ الکترونی نیز تصدیقی بر بهبود خواص مکانیکی نمونه‌های تثبیت شده است.

h.ahmadichenarboni@gmail.com
sh.lajevardi@iau.arak.ac.ir
hma@gonbad.ac.ir
shirkavand@ut.ac.ir

وازگان گلایدی: تثبیت، رس متورم‌شونده، سیمان، زئولیت، مقاومت برشی
زهکشی نشده.

۱. مقدمه

متورم‌شونده در خصوصیات بزرگراه‌ها، معابر، فرودگاه‌ها، پوشش‌تونل‌ها، کانال‌های آبیاری و دیگر سازه‌ها را به میزان ۹۰۰ میلیون دلار برآورد کرد، که به تهابی بزرگ‌تر از خسارت‌های ناشی از بلایای طبیعی، از قبیل سیل، طوفان و زلزله بوده است.^[۱] در استان خوزستان در کشور ایران، طبق بررسی‌های ژئوتکنیکی انجام گرفته می‌توان بیان کرد که خاک سطحی استان خوزستان، پتانسیل تورمی دارد و شاخص خمیری آن بالاست.^[۲] لذا بررسی خاک‌های متورم‌شونده ضروری است.

ثبت شیمیایی از روش‌های مرسوم جهت تثبیت سطحی و همچنین نیمه‌عمیق خاک‌های با شاخص خمیری بالا، جهت ارتقاء خواص ذاتی است. افزودنی‌هایی مانند سیمان و آهک، جزء رایج‌ترین مواد جهت بهبود خواص مکانیکی و مقاومتی خاک‌های مذکور هستند، که در این راستا، نیز در پژوهش‌های سیمانی به بررسی تأثیر آنها در خصوصیات مکانیکی آنها پرداخته شده است. در پژوهش حاضر، سیمان به عنوان افزودنی پایه‌ی استفاده شده جهت ثبت خاک متورم‌شونده در نظر گرفته شده است. خمیسا و محمدی (۲۰۱۴)، با استفاده از آزمون‌های تراکم، متیلن بلو^۱ (وابسته

خاک‌های متورم‌شونده، گروهی از خاک‌های مستله دار رسمی هستند، که بخش عمده‌ی ساختار آنها را کانی‌های رسی، مانند مونت‌موریلوبنیت و ایلیت تشکیل می‌دهند و رفتار آنها به شدت تحت تأثیر شرایط محیطی، از جمله: تغیرات دما، فشار، رطوبت و نوع سیال درون ساختار آنهاست. رفتار تورمی خاک‌های متورم‌شونده ارتباط مستقیمی با تغیر رطوبت دارد، که با افزایش رطوبت، خاک متورم و با کاهش آن دچار انقباض می‌شود.^[۳] خاک‌های متورم‌شونده، سطوح ویژه‌ی بالا و قابلیت تبادل کاتیونی زیادی دارند و عمدتاً تحت تأثیر مقدار و نوع کانی‌های رسی هستند، که بیشتر در نواحی نیمه‌خشک و خشک دنیا یافت می‌شوند.^[۴]

برای درک بهتر میزان خسارت‌های ناشی از خاک‌های متورم‌شونده می‌توان بیان کرد که در سال ۱۹۹۳ میلادی، کشور آمریکا خسارت ناشی از رفتار مخرب خاک‌های

* نویسنده مسئول

تاریخ: دریافت ۲۴/۹/۱۴۰۰، اصلاحیه ۱۲/۱/۵، پذیرش ۱۵/۳/۱۴۰۱.

DOI:10.24200/J30.2022.59536.3059

استفاده شده در آزمون های پژوهش حاضر در جدول ۱ ارائه شده است.

• رس متورم شونده (خاک پایه)

خاک بررسی شده در پژوهش حاضر از بnder ماهشهر استان خوزستان تهیه و برای تعیین دانه بندی خاک مورد نظر، از روش تراستفاده شده است. منحنی دانه بندی حاصل از آزمون های الک و هیدرومتری در شکل ۱ مشاهده می شود. ضریب فشردگی خاک مذکور بر اساس آزمون ادئومتری انجام شده برابر $48/0$ و ضریب تورم آن $11/0$ بوده و تورم آزاد آن نیز از آزمون تحکیم، $42/0$ به دست آمده است. همچنین آزمون حد خمیری و روانی (به روش جام کاساگرانده) بر روی خاک پایه انجام شده است، که مقادیر آنها به ترتیب 29 و 73 درصد و در نتیجه شاخص خمیری (PI) 7 برابر $44/0$ شده است.

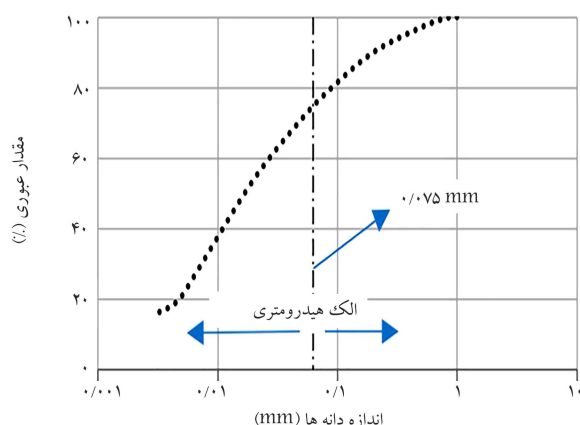
بر اساس نتایج به دست آمده از آزمون های حدود اتربرگ، دانه بندی و با توجه به روش طبقه بندی خاک متعدد^۸، خاک پایه، رس با شاخص خمیری بالا (CH) (CH) بوده است. با توجه به شاخص خمیری خاک های گروه اخیر عموماً ($PI > 40$)^۹ بوده است. همچنین با استفاده از طبقه بندی استیتن^{۱۰} می توان آنها را در گروه خاک های با پتانسیل تورمی بالا قرار داد. درصد رطوبت بهینه و بیشینه و وزن مخصوص خشک به ترتیب 22% و $15/6$ کیلوگرمیون بر مترمکعب بر اساس آزمون تراکم استاندارد به دست آمده است.

• سیمان (تشیبیت گمنده)

سیمان استفاده شده در پژوهش حاضر از نوع سیمان پرتلند نوع II بوده است، که وزن مخصوص آن $3/11$ گرم بر سانتی مترمکعب، نرمی بلین^{۱۱} آن بیش از 280^0 سانتی مترمکعب بر گرم و انبساط اوتکلاو آن کمتر از $6/0$ ٪ بوده است. سایر مشخصات

جدول ۱. استانداردهای استفاده شده در پژوهش حاضر.

استاندارد	آزمون
ASTM D ۴۲۲ ^[۱۲]	دانه بندی
ASTM D ۲۴۳۵	ادئومتری
ASTM D ۵۸۹۰	تورم آزاد
ASTM D ۴۳۱۸ ^[۱۳]	حدود اتربرگ
ASTM D ۲۴۸۷ ^[۱۴]	طبقه بندی متعدد
ASTM D ۶۹۸ ^[۱۵]	پروکتور استاندارد
STM D ۲۱۶۶ ^[۱۶]	مقاومت فشاری محصور نشده
ASTM D ۲۸۵۰ ^[۱۷]	مقاومت سه محوری (UU)



شکل ۱. منحنی دانه بندی خاک پایه (به روش الک و هیدرومتری).

به مقدار سطح ویژه ذرات خاک)، سی. بی. آر (CBR)^{۱۸} و برش مستقیم زهکشی نشده، آثار ترکیب آهک و سیمان را در خواص مهندسی خاک رس متورم شونده بیش تحکیم بافته بررسی کردند و دریافتند که افزودن ترکیب آهک و سیمان به خاک مذکور باعث کاهش شاخص خمیری و خواص تورمی و در نتیجه تراکم بهتر آن افزایش CBR خاک تثیت شده و افزایش مقاومت بشی آن می شود.^[۱۹] آزمون های تأثیر سرباره فولاد و نوع سیمان در خواص ژوپلکنیکی دو نوع خاک متورم شونده با تورم حجمی توسط ماهدی و همکاران (۲۰۱۸) بر روی ۳۱۲ نمونه با ۱۸ اختلاط مختلف انجام شد و نشان داد که حد روانی (LL) ^{۲۰} و حد خمیری (PL)^{۲۱} خاک با افزودن سیمان تا ۱۰٪ کاهش می یابد و برای مقادیر بیشتر از ۱۰٪، روند آن افزایشی می شود. همچنین تثیت خاک با سیمان سبب افزایش pH خاک می شود، که افزایش اشاره شده برای سیمان نوع I و II بیشتر و برای نوع IV کمتر بوده است. افزودن سیمان به خاک، نیز موجب بهبود مقاومت فشاری محصور نشده (UCS)^{۲۲} خاک شده است.^[۲۳]

با توجه به اهمیت حفظ محیط زیست و کاهش تولید آلاینده های مرتبط با فرایند تولید سیمان، از جمله گازهای گلخانه ای، استفاده از پوزولان های طبیعی، مانند زوپلیت برای جایگزینی بخشی از سیمان می تواند توسعه کاهش مصرف سیمان و جایگزینی آن با مواد بازیافتی از فرایندهای صنعتی یا مواد دوست دار محیط زیست، سبب کاهش مصرف بی رویه ای منابع طبیعی، کاهش مصرف انرژی و حفظ محیط زیست شود.^[۲۴] ملاعیاسی و همکاران (۲۰۱۶، ۲۰۲۰) تأثیر افزودن سیمان پرتلند نوع II و زوپلیت در خاک های ماسه بی را با انجام آزمون مقاومت فشاری محصور نشده و سه محوری بررسی کردند و دریافتند که خصوصیات مقاومتی و گسیختگی خاک با جایگزینی زوپلیت به جای سیمان با گذشت زمان عمل آوری بهبود پیدا می کند. آزمون خواست شیمیایی اکسیرن (COD)^{۲۵} نیز برای نمونه های حاوی آزمون خواست شیمیایی اکسیرن (COD) با افزایش جایگزینی سیمان با زوپلیت افزایش یافته است.^[۲۶]

احمدی و همکاران (۲۰۲۱)، در بررسی رفتار مکانیکی خاک متورم شونده تثیت شده با سیمان و زوپلیت دریافتند که افزایش جایگزینی سیمان با زوپلیت، سبب کاهش وزن مخصوص بیشینه خاک خشک و همچنین درصد رطوبت بهینه ای ترکیب خاک، سیمان و زوپلیت می شود.^[۲۷] شهریار کیان و همکاران (۲۰۲۱)، نیز در بررسی تأثیر سیمان و زوپلیت در رفتار مکانیکی خاک با شاخص خمیری پایین حاوی ماسه، سیلت و رس تحت چرخه های یخنیان - ذوب دریافتند که افزودن $3/0\%$ زوپلیت به نمونه های سیمانی سبب افزایش مقاومت فشاری محصور نشده و کرنش گسیختگی نسبت به نمونه های تثیت شده با سیمان شده است.^[۲۸] در پژوهش حاضر به بررسی هم زمان اثر سیمان و زوپلیت در افزایش خصوصیات مقاومتی خاک متورم شونده از طریق انجام بررسی های آزمایشگاهی سه محوری پرداخته شده است. به این منظور درصد های مختلفی از سیمان و مقادیر مختلفی زوپلیت به آزمون های آزمایشگاهی مقاومت فشاری محصور نشده و سه محوری تحکیم نیافته ای زهکشی نشده در زمان های عمل آوری ۷ و ۲۸ روزه انجام و نتایج آن بررسی شده است.

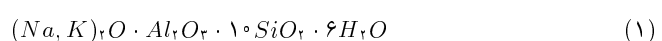
۲. مواد و روش ها

در بخش حاضر ابتدا به معرفی خاک پایه و مصالح مصرفی پرداخته و سپس روند انجام آزمون های آزمایشگاهی مختصراً شرح داده شده است. تمامی استانداردهای

شیمیایی و فیزیکی سیمان استفاده شده نیز در جدول ۲ ارائه شده است، که مطابق آن، بیشتر ذرات تشکیل دهنده سیمان، اکسید کلسیم (CaO) است، که در واکنش‌های هیدراتاسیون شرکت می‌کنند.^[۱۱]

• زئولیت (افزوختنی)

بر اساس سیستم طبقه‌بندی متعدد، زئولیت در گروه ML قرار می‌گیرد. در پژوهش حاضر، زئولیت معدنی با مشخصات ارائه شده در جدول ۳ از نوع کلینوپیتولیت با فرمول شیمیایی مطابق رابطه ۱ است.^[۱۱]



جدول ۲. مشخصات شیمیایی و فیزیکی سیمان استفاده شده.^[۱۱]

آنالیز شیمیایی	درصد استفاده شده	اکسیدها
۰/۱۸	Na_2O	
۴/۶۸	Al_2O_3	
۲۱/۴	SiO_2	
۲/۳	SO_2	
۰/۵۱	K_2O	
۶۲/۹	CaO	
۲/۷۵	Fe_2O_3	
۴/۱	MgO	
۰/۸۱	L.O.I	

خصوصیات فیزیکی و مقاومت	آزمون ویکات	آزمون ویکات
۳ روز	۲۰ <	
۷ روز	۳۱ <	
(MPa)	۲۸	۳۸۰ <
Initial (min)	۱۲۰ <	
Final (hr)	۳:۳۰	

جدول ۳. مشخصات شیمیایی و فیزیکی زئولیت استفاده شده.^[۱۱]

آنالیز شیمیایی	درصد استفاده شده (%)	اکسیدها
۲/۳۱	Na_2O	
۱۳/۶۲	Al_2O_3	
۶۶/۹۳	SiO_2	
۱/۳۶	SO_2	
۲/۳۸	K_2O	
۴/۴۱	CaO	
۲/۹	Fe_2O_3	
۲/۵۴	MgO	
۳/۸۲	L.O.I	

ویژگی‌های فیزیکی	آزمون ویکات	آزمون ویکات
سطح ویژه (g/mc^2)	۱۰۰۰	
ظرفیت تبادل کاتیونی (meq/g)	۲/۶	

۳. طرح اختلاط و ساخت نمونه‌ها

برای انجام آزمون مکانیکی در پژوهش حاضر، با توجه به ریزدانه بودن خاک پایه، نسبت‌های سیمان، ۸، ۶ و ۱۲ درصد سیمان و برای زئولیت، مقداری جایگزینی ۵، ۳، ۱۰، ۵۰، ۷۰ و ۹۰ درصد از هر مقدار مشخص سیمان در نظر گرفته شده است (جدول ۴). برای وزن مخصوص خشک نمونه‌ها از نتایج آزمون‌های تراکم ارائه شده در پژوهش احمدی و همکاران (۲۰۱۱)^[۱۱] که در جدول ۳ ارائه شده، استفاده شده است. بدین صورت که برای هر طرح اختلاط مورد نظر از خاک - سیمان - زئولیت، با دانستن وزن مخصوص خشک بیشینه (w_{opt}) و رطوبت بهینه (γ_{dmax}) مربوط به هر طرح و استفاده از روابط وزنی - حجمی، مقداری مورد نظر مصالح و میزان آب برای درجهٔ تراکم (Rd) برابر ۹۸٪، جهت اختلاط و ساخت هر نمونه به دست آمده است.

$$(2) \gamma_d = (R_d = ۹۸\%) \times \gamma_{d \text{ max}}$$

شایان ذکر است که درجهٔ تراکم ۹۸٪ برای نمونه‌سازی‌های آزمون‌های فشاری محصور نشده و سه‌محوری تحکیم‌نیافته‌ی زهکشی نشده استفاده شده است. برای ساخت نمونه‌ها، مقدار وزن مصالح بر اساس رابطهٔ ۲ محاسبه شده و مقدار آب مختص آنها با توجه به حجم مشخص قالب هر طرح اختلاط به صورت همگن با هم مخلوط شده و تمامی مقدار ذکر شده در سه لایهٔ هماندازه، به روش تراکم استاتیکی با میله‌ی فلزی با ضربات آهسته کوبیده شده است، به طوری که همگنی خاک تحت تأثیر قرار نگیرد. پس از کوبیدن هر لایه، جهت ایجاد درگیری در سطح و به وجود آوردن اتصال بین دو لایه، خراش‌هایی زده شده است. سپس نمونه‌ها جهت حفظ رطوبت در زمان عمل آوری ۷-۲۸ روزه ساخته شدند. ذکر این نکته ضروری است که نمونه‌های آزمون‌های مقاومتی در قالب‌هایی استوانه‌بی با قطر ۴۵ میلی‌متر و ارتفاع ۹۵ میلی‌متر تهیی شده‌اند.

• آزمون فشاری محصور نشده

هدف از انجام آزمون فشاری محصور نشده، به دست آوردن درصد زئولیت بهینه به ازاء مقادیر مختلف سیمان برای انجام آزمون‌های سه‌محوری است. آزمون مذکور برای تعیین تقریبی و سریع مقاومت فشاری بدون هیچ فشار جانبی است. سرعت بارگذاری در آزمون فشاری محصور نشده به گونه‌ی تنظیم شده است که در هر دقیقه، ۱٪ کرنش محوری در نمونه ایجاد شود. به ازاء تغییرشکل‌های معین، مقدار نیروی وارده، یادداشت و بارگذاری نیز تا زمان گسیختگی یا زمانی که ۱۵٪ کرنش در نمونه ایجاد شود، ادامه یافته است. در کل ۴۸ آزمون مقاومت فشاری انجام شده است.

• آزمون سه‌محوری تحکیم‌نیافته‌ی زهکشی نشده (UU)

تعداد ۴۸ آزمون سه‌محوری تحکیم‌نیافته‌ی زهکشی نشده، بر روی نمونه‌های خاک رس متورم‌شونده تثبیت شده با سیمان و تکیب سیمان - زئولیت بهینه انجام و نتایج حاصل از آنها، به صورت جدول و نمودارهای تغییرات زاویه اصطکاک داخلی (φ) و چسبندگی (C)، کرنش گسیختگی و سختی ارائه شده است. آزمون‌های انجام شده‌ی سه‌محوری، همانند آزمون فشاری محصور نشده تا کرنش محوری ۱۵٪ ادامه یافته است؛ اگرچه گسیختگی نمونه‌ها در کرنش‌های کمتری صورت گرفته است. در روند آزمون تحکیم‌نیافته‌ی زهکشی نشده باید اشاره کرد که هنگام اعمال فشار محفظه‌بی ۵۰، ۱۰۰ و ۲۰۰ کیلوپاسکال به نمونه، اجازه‌ی زهکشی داده نمی‌شود.

جدول ۴. طرح اختلاط و مقادیر حاصل از آزمون‌های پروکتور استاندارد.

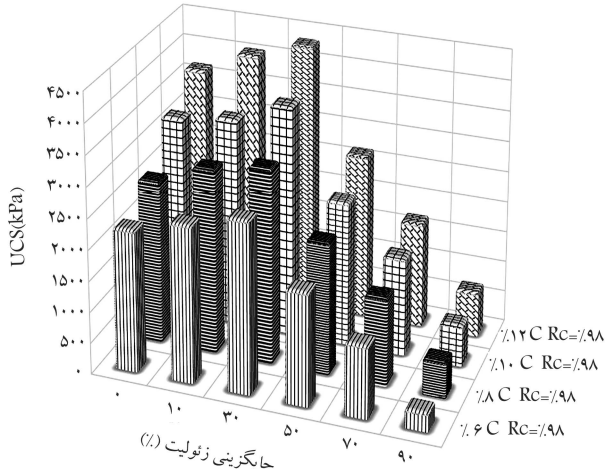
(kN/m ³)	وزن مخصوص خشک بیشینه ($\gamma_{d\max}$)	رطوبت بیشینه (w_{opt}) (%)	افزودنی سیمان (%)	
			زئولیت	سیمان (%)
۱/۵۶		۲۲	۰	۰
۱۵/۲۹		۲۷/۱	۰	
۱۵/۰۹		۲۵/۳	۱۰	
۱۴/۸۰		۲۴/۸	۳۰	
۱۴/۷۰		۲۴	۵۰	۶
۱۴/۵۰		۲۳/۲	۷۰	
۱۴/۴۱		۲۱/۷	۹۰	
۱۵/۴۸		۲۸/۴	۰	
۱۵/۳۹		۲۷/۶	۱۰	
۱۵/۰۹		۲۵/۷	۳۰	
۱۴/۸۰		۲۴/۶	۵۰	
۱۴/۷۰		۲۴/۱	۷۰	۸
۱۴/۴۱		۲۲/۳	۹۰	
۱۵/۷۸		۳۰/۶	۰	
۱۵/۴۸		۲۸/۷	۱۰	
۱۵/۲۹		۲۷/۷	۳۰	
۱۴/۹۹		۲۶/۴	۵۰	
۱۴/۹۰		۲۵/۹	۷۰	
۱۴/۵۰		۲۳/۸	۹۰	
۱۵/۸۸		۳۱/۵	۰	
۱۵/۵۸		۲۹/۶	۱۰	
۱۵/۴۸		۲۸/۳	۳۰	
۱۵/۱۹		۲۸	۵۰	
۱۴/۹۹		۲۷/۱	۷۰	۱۲
۱۴/۷۰		۲۵/۹	۹۰	

سممحوری UU بر روی نمونه‌های حاوی درصد‌های مختلف سیمان و زئولیت انجام شده است. لازم به ذکر است که نمونه‌ها برای آزمون‌های مقاومتی، برای دو دوره‌ی زمانی ۷ و ۲۸ روزه تحت عمل‌آوری قرار گرفتند. در ادامه، نتایج حاصل از آزمون‌های اخیر به تفسیر ارائه شده‌اند.

۱.۴. نتایج آزمون فشاری محصور نشده
 مقادیر مقاومت فشاری محصور نشده (UCS) نمونه‌های ثبت شده با سیمان و زئولیت در دو زمان عمل‌آوری ۷ و ۲۸ روزه، در شکل‌های ۳ و ۴ مشاهده می‌شوند، که مطابق آنها، افزایش مقدار سیمان از ۶ به ۱۲ درصد، سبب افزایش پارامتر مقاومتی UCS شده است، که می‌توان آن را نتیجه‌ی افزایش میزان واکنش هیدراتاسیون سیمان در ترکیب خاک - سیمان دانست. در ادامه، در هر درصد مشخص سیمان، جایگزینی ۱۰ تا ۹۰ درصد از سیمان مصرفی با زئولیت، کاهش UCS نمونه‌ها در زمان عمل‌آوری ۷ روزه مشهود بوده است. با توجه به زمان بر بودن واکنش پوزولانی،

برای انجام آزمون‌ها، ابتدا غشاء توسط دو اورینگ (حلقة لاستیکی مخصوص) به پایه‌ی پایینی متصل و پس از جایگذاری نمونه به همراه کاغذهای صافی و سنگ‌های متخلخل بر پایه‌ی پایینی و قرار دادن غشا بر روی نمونه، انجام اتصال‌های آن به کلاهک بالایی توسط دو اورینگ انجام شده و محافظه بر روی مجموعه‌ی مذکور قرار گرفته است. سپس پیشون اعمال باز، به آرامی به کلاهک نمونه متصل شد تا اطمینان حاصل شود که کلاهک و پیشون هم راستا هستند و در نهایت محافظه تحت فشار همه‌جانبه و نیروی محوری قرار گرفت. در شکل ۲، نمای دستگاه سمحوری به کار برده شده برای آزمون‌های پژوهش حاضر مشاهده می‌شود.

۴. تجزیه و تحلیل نتایج
 در پژوهش حاضر، خواص مکانیکی خاک رس متورم شونده‌ی ثبت شده با سیمان و زئولیت بررسی شده است. به این منظور، آزمون‌های فشاری محصور نشده و

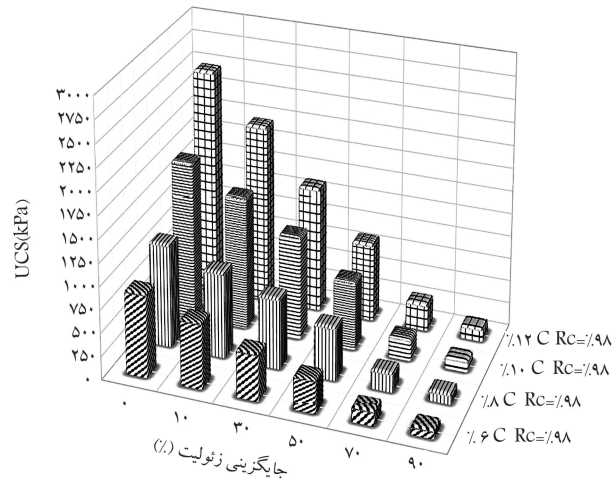


شکل ۴. تغییرات مقاومت فشاری محصور نشده بر حسب تغییرات سیمان و زویلت با ۲۸ روز عمل آوری.

افزایش بیشتر مقاومت نمونه ها حاصل شده است. این در حالی است که جایگزینی مقادیر بیشتر از ۳۰٪ سیمان با زویلت، موجب افزایش بیش از حد سیلیکا و الومینا نسبت به $Ca(OH)_2$ شده است، لذا کاملاً مصرف شده و قسمت اعظم زویلت در واکنش پوزولانی شرکت نکرده و مقاومت نهایی نمونه ها کاهش یافته است.^[۲۱] همچنین، تغییرات ریزاختاری شیمیایی مشاهده شده در پژوهش ایزدپناه و همکارانش (۲۰۲۰)،^[۲۲] نیز موارد مطرح شده در خصوص مقدار تولید ژل های سیمانی زویلت در گذر زمان را اثبات می کنند. شایان ذکر است که بیشترین مقدار UCS در نمونه ای ثبت شده با ۱۲٪ سیمان و میزان جایگزینی سیمان با زویلت ۳۰٪ به دست آمده است.



شکل ۲. نمای دستگاه سه محوری.



شکل ۳. تغییرات مقاومت فشاری محصور نشده بر حسب تغییرات سیمان و زویلت با ۷ روز عمل آوری.

۲.۴. نتایج آزمون سه محوری

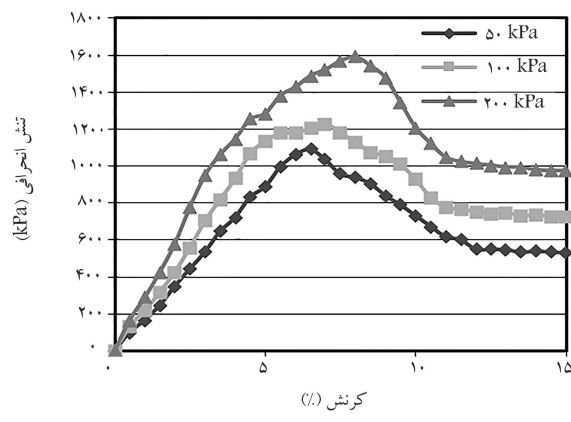
۱.۲.۴. رفتار تنشن - کرنش نمونه ها تا کرنشن ۱۵٪

نمودارهای تنشن انحرافی - کرنش (به صورت نمونه برای ۱۰٪ سیمان) حاصل از آزمون های سه محوری انجام شده، بر روی نمونه های سیمانی و سیمانی - زویلتی در شکل های ۵ و ۶ مشاهده می شود، که با توجه به آنها، افزایش تنشن در نمونه هی تحت اثر بار انحرافی کرنش های آغازین مشهود است، به طوری که با شیبی تقریباً ثابت افزایش یافته اند. در نمونه ها قابل مشاهده است که با تزدیک شدن به کرنش گسیختگی، شبیب نمودار تنشن - کرنش کاهش یافته و سپس، گسیختگی رخ داده است. این کاهش مقاومت ناشی از رفتار ترد و شکننده خاک سیمانی است. با توجه به رفتارهای مشاهده شده می توان دریافت که نمونه های سیمانی، رفتاری شکننده و ترد و نمونه های سیمانی - زویلتی رفتاری انعطاف پذیر در مقایسه با نمونه های سیمانی از خود بروز می دهند. با بررسی نمودارهای تنشن - کرنش در نمونه های مختلف و دوزمان عمل آوری ۷ و ۲۸ روزه، می توان دریافت که افزایش فشار همه جانبه از ۵۰ به ۱۰۰ و ۲۵ کیلوپاسکال، سبب تمايل نقاط گسیختگی به سمت بالا و راست شده است، که در نتیجه ای آن افزایش کرنش گسیختگی به دست آمده است. با استفاده از نمودارهای تنشن - کرنش، پارامترهای مقاومت بیشینه و سختی نمونه ها در ادامه بررسی شده اند.

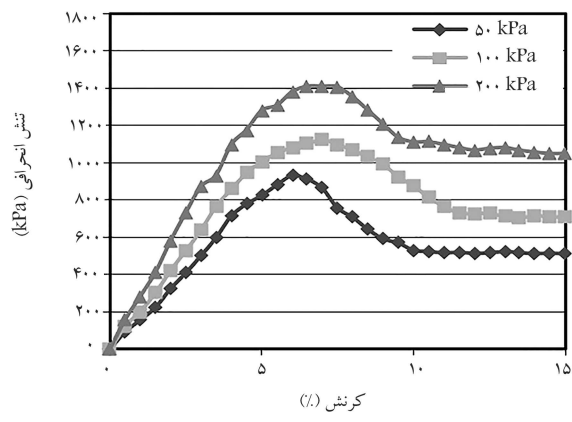
۲.۲.۴. تأثیر افزودن سیمان، سیمان - زویلت و زمان عمل آوری در مقاومت بیشینه

با بررسی نتایج حاصل از آزمون های سه محوری بر روی نمونه های سیمانی و

پس از ۲۸ روز عمل آوری، جایگزینی سیمان با زویلت تا ۳۰٪ سبب افزایش محسوس UCS نمونه های ثبت شده است. اما جایگزینی مقادیر بیشتر از آن تا ۹۰٪، سبب کاهش چشمگیر UCS نمونه ها شده است. لذا ۳۰٪ جایگزینی سیمان با زویلت به عنوان مقدار بهینه برای انجام آزمون های سه محوری استفاده شده است. با توجه به نتایج به دست آمده می توان گفت که در نمونه های مذکور، مقدار $Ca(OH)_2$ حاصل از واکنش هیدراتاسیون سیمان، با مقادیر سیلیکا و الومینای موجود در زویلت به تعادل رسیده و سبب شده است که تمامی مواد اخیر با گذشت زمان در واکنش پوزولانی شرکت کنند و باعث تولید ژل های C-S-H و C-A-H^{۱۱} شوند و در نتیجه،

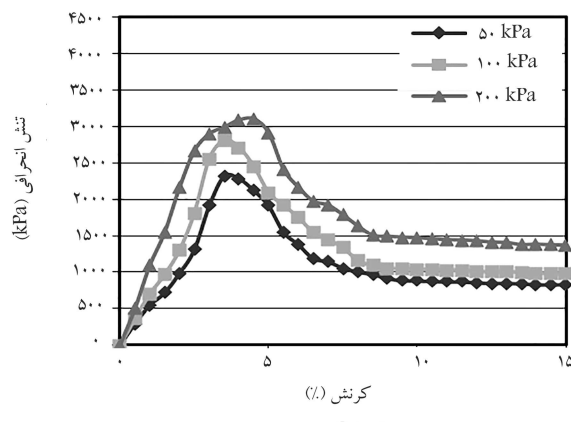


(الف) $\%10 C-\%30 Z$.

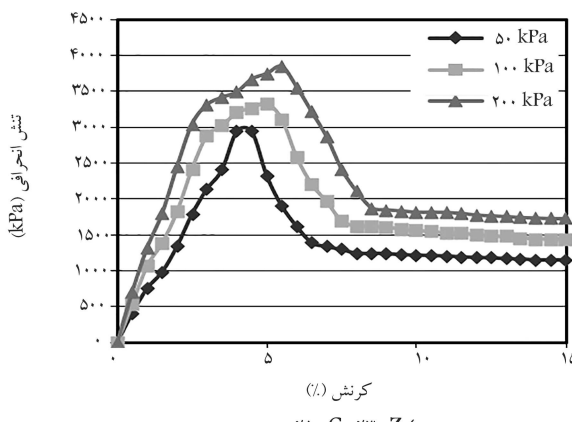


(ب) $\%10 C-\%30 Z$.

شکل ۵. نمودار تنش - کرنش با ۷ روز عمل آوری برای.

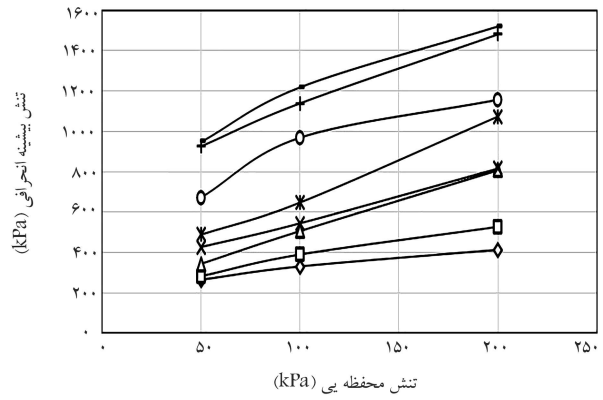


(الف) $\%10 C-\%30 Z$.

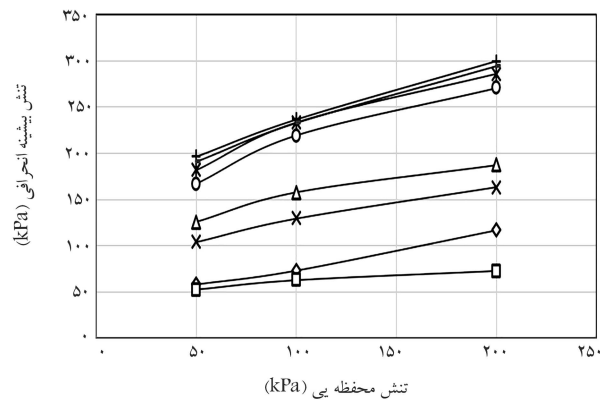


(ب) $\%10 C-\%30 Z$.

شکل ۶. نمودار تنش - کرنش با ۲۸ روز عمل آوری برای.



شکل ۸. نمودار تنش بیشینه انحرافی - تنش محفوظه بی - تنش بیشینه انحرافی برای نمونه های با ۲۸ روز عمل آوری.



شکل ۷. نمودار تنش بیشینه انحرافی - تنش محفوظه بی برای نمونه های با ۷ روز عمل آوری.

مقاومت نمونه های سیمانی پس از ۲۸ روز عمل آوری نسبت به نمونه های ۷ روزه چشمگیر بوده است. نتایج مربوط به روند مقاومت بیشینه منطبق بر مشاهدات مربوط به نتایج مقاومت فشاری محصور نشده است. بدین ترتیب که در زمان عمل آوری ۷ روزه، نمونه های سیمانی مقاومت بیشتری را تجربه کرده و برای

شکل های ۷ و ۸ مشاهده می شود که افزودن سیمان سبب افزایش مقاومت بیشینه نمونه شده است. افزایش مقادیر سیمان نیز موجب وجود آمدن روندی افزایشی در مقاومت نمونه ها شده است. روند اخیر، به دلیل افزایش فرآورده های واکنش هیدراتاسیون سیمان در خاک حاصل شده است. افزایش

نسبت به نمونه‌های سیمانی شده است. افزایش قابل توجه مقادیر E_5 نمونه‌های سیمانی - زوپلیتی به دلیل کافی بودن زمان مورد نیاز برای شروع و پیشرفت واکنش پوزولانی است. در این مدت، زمان کافی برای انجام واکنش بین سیلیکا و آلومینیات موجود در زوپلیت با $Ca(OH)_2$ حاصل از فرایند هیدراتاسیون سیمان فراهم شده است. لازم به ذکر است که تأثیر زمان عمل آوری در نمونه‌های سیمانی - زوپلیتی بیشتر از نمونه‌های سیمانی بوده است. نتایج حاصل از آزمون‌های اخیر را می‌توان تأییدی بر نتایج حاصل از آزمون‌های مقاومت محصورشده دانست. افزایش فشار همچنانه جانبه از ۵۰ به ۱۰۰ و ۲۰۰ کیلوپاسکال نیز موجب پیدایش روند افزایشی در نمونه‌های سیمانی - زوپلیتی شده است. این مشاهدات با یافته‌های ملاععباسی و همکاران [۲۰۲۰] انباطق دارد.

۴.۲.۲. تأثیر مقادیر افزودنی‌ها و زمان عمل آوری بر پارامترهای مقاومت برشی (UU)

در جدول ۵، پارامترهای مقاومت برشی نمونه‌ها (مقادیر چسبندگی (C) و زاویه اصطکاک داخلی (ϕ)) به دست آمده از نمودارهای دوازیر مهار آزمون‌های سه محوری اصطکاک داخلی (ϕ) به دست آمده از نمودارهای تثبیت شده سیمانی و سیمانی - زوپلیتی ارائه انجام شده بر روی نمونه‌های تثبیت شده سیمانی و سیمانی - زوپلیتی ارائه شده است. با مقایسه مقادیر ارائه شده می‌توان دریافت که افزودن سیمان سبب افزایش چشمگیر چسبندگی و زاویه اصطکاک داخلی خاک پس از ۷ روز عمل آوری شده است. افزایش مقدار سیمان نیز سبب شکل‌گیری روند افزایشی ϕ در نمونه‌ها شده است. همچنین افزایش زمان عمل آوری تا ۲۸ روز نیز سبب شدت گرفتن این روند افزایشی شده است. جایگزینی سیمان با درصد بهینه‌ی زوپلیت پس از ۷ روز عمل آوری، سبب کاهش چسبندگی و زاویه اصطکاک داخلی خاک شده است، که به دلیل کم بودن زمان عمل آوری ۷ روزه برای شروع روند واکنش پوزولانی زوپلیت بوده است. اما پس از ۲۸ روز عمل آوری، چسبندگی و زاویه اصطکاک داخلی نمونه‌های سیمانی - زوپلیتی افزایش بیشتری نسبت به نمونه‌های سیمانی از خود نشان داده‌اند، که بیانگر کافی بودن زمان عمل آوری ۲۸ روزه برای پیشروی و اثرگذاری واکنش پوزولانی در تثبیت نمونه‌های است. چنین رفتاری در پژوهش ملاععباسی و همکاران [۲۰۲۰] در بررسی تأثیر سیمان و زوپلیت در رفتار سه محوری خاک ماسه‌بی مشاهده شده است.

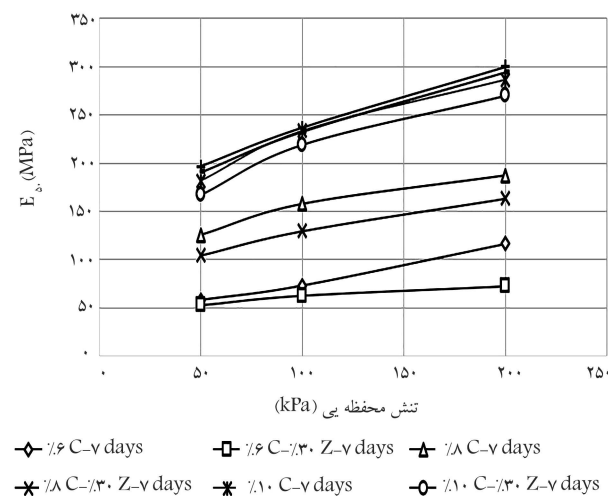
۵. بررسی ریزاساختار نمونه‌های سیمانی و سیمانی - زوپلیتی بهینه

در پژوهش حاضر، برای بررسی ریزاساختار نمونه‌ها، از تصاویر حاصل از میکروسکوپ الکترونی روشی (SEM) استفاده شده است. بررسی رفتار ریزاساختاری خاک از آن جهت نقش مهمی در دردک، رفتار خاک دارد که مقاومت برشی خاک از تماش ذرات آن انتقال پیدا می‌کند. در حقیقت، ضعیف‌ترین ناحیه در عوامل محدودکننده مقاومت خاک، ناحیه‌ی انتقال (فضاهای خالی بین ذرات) است. حجم و اندازه‌ی فضاهای خالی نواحی انتقال، مقاومت آن را مشخص می‌کنند. با توجه به نوع افزودنی استفاده شده در تثبیت خاک، مقاومت نواحی انتقال ممکن است از توده‌ی خاک پایه بیشتر شود. طی واکنش هیدراتاسیون، در ابتدای زمان عمل آوری، اندازه‌ی حفره‌های خالی بزرگ و نواحی انتقال حجم بزرگ‌تری دارند، که سبب می‌شود نمونه مقاومت پایین‌تری از خود نشان دهد. اما با گذشت زمان عمل آوری، محصولات واکنش هیدراتاسیون، حجم نواحی انتقال را کاهش می‌دهند. همچنین محصولات واکنش هیدراتاسیون عموماً مقاومت بیشتری از توده‌ی خاک دارند. کریستاله شدن

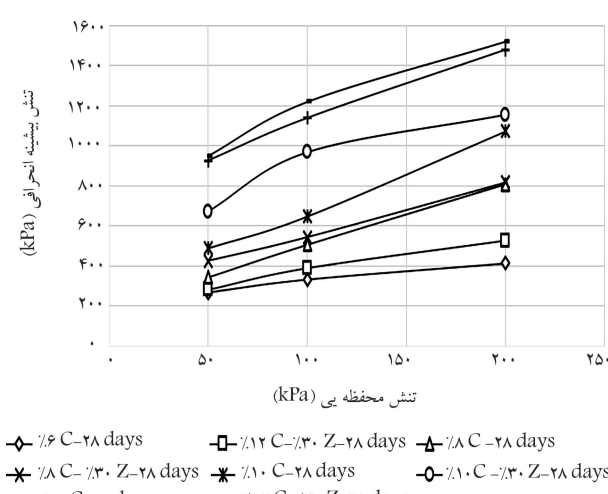
زمان ۲۸ روزه، نمونه‌های حاوی زوپلیت، بهینه‌ی مقاومت بیشتری از خود نشان داده‌اند.

۳.۲.۴. سختی (مدول کشسانی سکانت (E_5))

مدول کشسانی سکانت E_5 (۱۲)، به عنوان ضریب سختی خاک بررسی می‌شود، که از تعیین شبیه خط واصل مبدأ مختصات، به کرنش معادل تنش بازبرابر 50% تنش نهایی حاصل می‌شود. مقادیر E_5 نمونه‌های تثبیت شده با سیمان و سیمان - زوپلیت نسبت به تغییرات فشار همه جانبه در دو زمان عمل آوری ۷ و ۲۸ روزه به ترتیب در شکل‌های ۹ و ۱۰ مشاهده می‌شوند، که با توجه به آنها می‌توان دریافت که با افزودن سیمان و افزایش مقدار آن در زمان عمل آوری ۷ روزه، مقادیر E_5 نمونه‌ها افزایش یافته است. همچنین روند افزایشی مشابه با افزایش فشار محفظه‌یی حاصل شده است. افزایش زمان عمل آوری به ۲۸ روز نیز سبب افزایش بیشتر مقادیر E_5 نمونه‌ها شده است. نمونه‌های سیمانی - زوپلیتی پس از ۷ روز عمل آوری، مقادیر کمتری نسبت به نمونه‌های سیمانی از خود نشان دادند که می‌توان دلیل آن را کم بودن زمان عمل آوری برای شروع واکنش پوزولانی و ضعیف بودن پیوندهای سیمانی ناشی از آن دانست. با توجه به شکل ۱۰ می‌توان مشاهده کرد که افزایش زمان عمل آوری به ۲۸ روز، سبب پیشی گرفتن مقادیر E_5 نمونه‌های سیمانی - زوپلیت



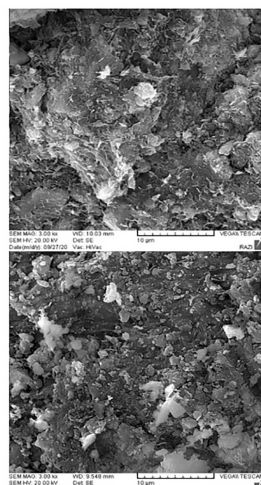
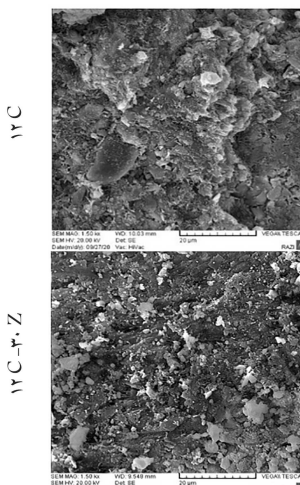
شکل ۹. تغییرات E_5 تنش محفظه‌یی نمونه‌ها با ۷ روز عمل آوری.



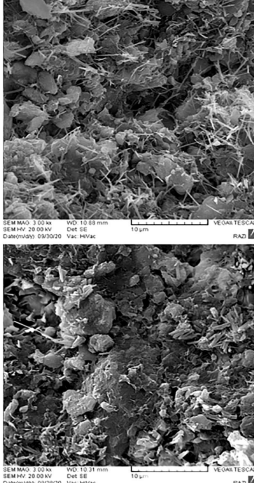
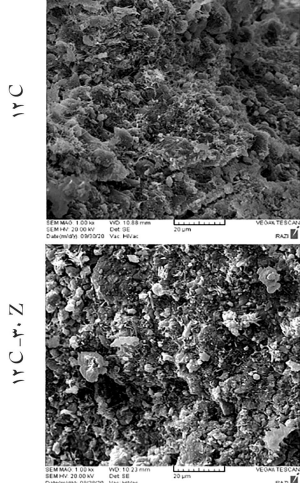
شکل ۱۰. تغییرات E_5 تنش محفظه‌یی نمونه‌ها با ۲۸ روز عمل آوری.

جدول ۵. مقادیر C و φ در دو زمان عمل آوری ۷ و ۲۸ روز.

سیمان	زئولیت (%)	جایگزینی	چسبندگی (C)	زاویه اصطکاک	چسبندگی (C)	زاویه اصطکاک	داخلي (φ)	داخلي (φ)	زئولیت (%)	سیمان
روزه ۷			۱۳۵	۴۱/۶	۰	۰				
۴۰/۵	۲۷۶/۹	۲۷/۴	۱۳۷/۳	۰	۰	۰	۴۰/۵	۲۷۶/۹	۲۷/۴	۱۳۷/۳
۴۰/۶	۲۹۷	۲۵/۹	۱۲۵/۲	۳۰	۶	۶	۴۰/۶	۲۹۷	۲۵/۹	۱۲۵/۲
۴۳/۵	۳۵۴/۳	۳۳/۴	۱۵۳/۹	۰	۸	۸	۴۳/۵	۳۵۴/۳	۳۳/۴	۱۵۳/۹
۴۵/۳	۳۷۷/۹	۳۲/۷	۱۳۲/۷	۳۰	۱۰	۱۰	۴۵/۳	۳۷۷/۹	۳۲/۷	۱۳۲/۷
۴۱/۶	۴۱۰/۳	۳۸/۱	۲۲۶/۳	۰	۱۰	۱۰	۴۱/۶	۴۱۰/۳	۳۸/۱	۲۲۶/۳
۴۸/۶	۵۰۰/۴۹	۳۷/۷	۱۹۰/۳	۳۰	۱۲	۱۲	۴۸/۶	۵۰۰/۴۹	۳۷/۷	۱۹۰/۳
۵۰/۴	۵۴۰/۵	۳۹/۸	۲۰۱/۱	۰			۵۰/۴	۵۴۰/۵	۳۹/۸	۲۰۱/۱
۵۱/۲	۶۰۰/۵۳	۳۸/۸	۱۸۴/۹	۳۰			۵۱/۲	۶۰۰/۵۳	۳۸/۸	۱۸۴/۹



شکل ۱۱. تصاویر میکروسکوپ الکترونی (SEM) نمونه‌های سیمانی و سیمانی زئولیتی بهینه پس از ۷ روز عمل آوری.



شکل ۱۲. تصاویر میکروسکوپ الکترونی (SEM) نمونه‌های سیمانی و سیمانی زئولیتی بهینه پس از ۲۸ روز عمل آوری.

محصولات جدید در نواحی انتقال ممکن است از واکنش بین سیمان و ذرات خاک باشد، که تشکیل ژل سیلیکات کلسیم هیدراته را منجر می‌شود. ژل پدید آمده از پیدایش مقدار بیشتر هیدرولیکالسیم در نواحی انتقال جلوگیری و افزایش مقاومت را حاصل می‌کند.^[۲۳] با تصاویر SEM می‌توان تغییراتی از جمله تغییر در اندازه ذرات، سیمانی شدن بافت خاک توسط ژل C-S-H، را که تأثیر مستقیم در مقاومت نمونه دارد، بررسی کرد. بررسی تصویرهای شکل ۱۱ نشان می‌دهد که افزودن ۱۲٪ سیمان به خاک رس متورم شونده پس از ۷ روز سبب حاصل شدن ژل سیلیکات کلسیم هیدراته و کوچک تر شدن نواحی انتقال شده است. اما در نمونه‌ی حاوی زئولیت، به سبب کم بودن زمان عمل آوری برای شروع واکنش پوزولانی، ذرات زئولیت وارد واکنش نشده و بافت خاک دستخوش تغییرات مشهودی نسبت به نمونه‌ی سیمانی نشده است. اما مشاهده‌ی تصاویر میکروسکوپی شکل ۱۲ نشان می‌دهد که با افزایش زمان عمل آوری تا ۲۸ روز؛ نمونه‌های حاوی زئولیت پیشرفت چشمگیری در کاهش حجم نواحی انتقال از خود نشان داده‌اند، به طوری که فراورده‌های واکنش‌های هیدراتاسیون و پوزولانی به مقدار قابل توجهی نسبت به نمونه‌ی سیمانی افزایش یافته و افزایش میزان ژل سیلیکات کلسیم هیدراته سبب کاهش تخلخل نمونه شده است.

۶. نتیجه‌گیری

در پژوهش حاضر به بررسی آثار استفاده از ماده‌یمعدنی زئولیت، به عنوان جایگزین بخشی از سیمان در بهبود رفتار ژئوتکنیکی خاک رس متورم شونده پرداخته شده است. استفاده از ماده‌ی پوزولانی زئولیت، سبب کاهش مصرف سیمان در بهسازی خاک متورم شونده می‌شود، که هم از لحاظ زیستمحیطی و هم از جنبه‌ی اقتصادی حائز اهمیت است. جهت بررسی آثار جایگزینی سیمان با زئولیت در رفتار ژئوتکنیکی خاک رس متورم شونده، از آزمون‌های مقاومت فشاری محصور نشده، سه محوری تحکیم‌نیافتنی زهکشی نشده و عکس‌های SEM استفاده شده است؛ که در ادامه، نتایج حاصل از آنها ارائه شده است:

- افزایش مقادیر سیمان از ۶ تا ۱۲ درصد، سبب بروز روند افزایش مقاومت نمونه‌های مقاومت فشاری محصور نشده و سه محوری شده است.

- پارامترهای مقاومتی برشی (UU) نمونه‌های با درصد جایگزینی ۳۰٪ سیمان با زئولیت پس از ۷ روز عمل آوری نسبت به نمونه‌ی سیمانی کمتر بوده است. اما در نمونه‌های ۲۸ روزه‌ی سیمانی - زئولیتی، پارامترهای UU، مقادیر بیشتری را نسبت به نمونه‌های سیمانی از خود نشان داده‌اند.
- افزایش فشار همه‌جانبه از ۵۰ به ۱۰۰ و ۲۰۰ کیلو پاسکال سبب افزایش پارامترهای مقاومتی سه‌محوری شده است.
- تصاویر SEM بهبود ریزاساختار نمونه‌های تثبیت شده با سیمان و زئولیت را نشان داده‌اند. پیشنهاد می‌شود جهت ادامه‌ی پژوهش‌ها در زمینه‌ی استفاده از زئولیت و سیمان، به انجام آزمون‌های دوام و دینامیکی تحت تأثیر الیاف و مدل‌سازی عددی پرداخته شود.
- در هر درصد مشخص سیمان، جایگزینی سیمان مصروفی با زئولیت و افزایش مقنن جایگزینی، سبب کاهش مقاومت فشاری محصورنشده نمونه‌های با زمان عمل آوری ۷ روزه شده است.
- جایگزینی سیمان با زئولیت تا ۳۰٪ پس از ۲۸ روز عمل آوری، موجب افزایش محسوس مقاومت فشاری محصورنشده نمونه‌های سیمانی - زئولیتی و جایگزینی بیشتر از آن تا ۹۰٪، سبب کاهش چشمگیر مقاومت نمونه‌های مذکور شده است.
- افزودن مقنن سیمان موجب به وجود آمدن افزایشی در پارامترهای مقاومتی برشی (UU) نمونه‌ها شده است. افزایش مقاومت نمونه‌های سیمانی پس از ۲۸ روز عمل آوری نسبت به نمونه‌های ۷ روزه چشمگیر بوده است.

پانوشت‌ها

1. Methylene Blue
2. California bearing ratio
3. liquid limit
4. plastic limit
5. unconfined compression strength
6. chemical oxygen demand
7. plasticity index
8. unified classification system
9. Blaine
10. calcium-silicate-hydrate
11. calcium-aluminate-hydrate
12. secant modulus of elasticity

منابع (References)

1. Al-Rawas, A.A. and Goosen, M.F.A. "Expansive soils: recent advances in characterization and treatment", *T&F* (2006).
2. Mola-Abasi, H., Kordtabar, B. and Kordnaij, A. "Effect of natural zeolite and cement additive on the strength of sand", *Geotechnical and Geological Engineering*, **34**, pp. 1539-1551 (2016).
3. Gourley, C.S., Newill, D. and Schreiner, H.D. "Engineering characteristics of arid soils", *CRC Press* (1993).
4. Baroutkoub, S. and Rahimi, H. "Evaluating the reasons of concrete cover deterioration in Khuzestan province", *Uni. Tehran* (1374).
5. Khemissa, M. and Mahamedi, A. "Cement and lime mixture stabilization of an expansive overconsolidated clay", *Apply Clay Science*, **95**, pp. 104-110 (2014).
6. Mahedi, M., Cetin, B. and White, D.J. "Performance evaluation of cement and slag stabilized expansive soils", *Transportation Research Records*, **2672**, pp. 164-173 (2018).
7. Mola-Abasi, H., Saberian, M. and Li, J. "Prediction of compressive and tensile strengths of zeolite-cemented sand using porosity and composition", *Construction and Building Materials*, **202**, pp. 784-795 (2019).
8. Mola-Abasi, H. and Shooshpasha, I. "Influence of zeolite and cement additions on mechanical behavior of sandy soil", *Journal of Rock Mechanics and Geotechnical Engineering*, **8**(5), pp. 746-752 (2016).
9. Mola-Abasi, H., Kordtabar, B. and Kordnaij, A. "Parameters controlling strength of zeolite-cement-sand mixture", *International Journal of Geotechnical Engineering*, **11**(1), pp. 72-79 (2017).
10. Molaabasi, H., Semsani, S.N., Saberian, M. and et al. "Evaluation of the long-term performance of stabilized sandy soil using binary mixtures: A micro- and macro-level approach", *Journal of Cleaner Production*, **267**, p.122209 (2020).
11. Ahmadi, H., Hamid, S., Molaabasi, H. and et al. "The effect of zeolite and cement stabilization on the mechanical behavior of expansive soils", *Construction and Building Materials*, **272**, p. 121630 (2021).
12. ShahriarKian, M.R., Kabiri, S. and Bayat, M. "Utilization of zeolite to improve the behavior of cement-stabilized soil", *International Journal of Geosynthetic and Ground Engineering*, **7**, pp. 1-11 (2021).
13. Djedid, A., Bekkouche, A. and Mamoune, S.M. "Identification and prediction of the swelling behavior of some soils from the tlemcen region of algeria", *Bulletin des Laboratoires des Ponts et Chaussées*, **233**, pp. 69-77 (2001).
14. ASTM D422-63 (Reapproved), "Standard test method for particle-size analysis of soils", *ASTM International*, **63**, pp. 1-8 (2007).
15. ASTM D 4318-10, "Standard test methods for liquid limit, plastic limit, and plasticity index of soils", *ASTM International*, **04**, pp. 1-14 (2005).
16. ASTM D2487-11, "Standard practice for classification of soils for engineering purpose (unified soil classification system)", *ASTM International*, **8:1-12** (2011).DOI:10.1520/D2487-11.

17. ASTM D698 - 12, "Standard test methods for laboratory compaction characteristics of soil using standard effort (12,400 ft-lbf/ft³ (600 kN-m/m³))", *ASTM International*, 3:1-13 (2012).DOI.orag/10.1520/D0698-12E01.1.
18. ASTM D2166, "Standard test method for unconfined compressive strength of cohesive soil", *ASTM International*, 13:1-7 (2013).DOI.orag/10.1520/D2166.
19. ASTM D2850, "Standard test Method for unconsolidated-undrained triaxial compression test on cohesive soils", *ASTM International*, 5:1-7 (2007).
20. Sharma, A.K. and Sivapullaiah, P.V. "Ground granulated blast furnace slag amended fly Ash as an expansive soil stabilizer", *Soils and Foundations*, **56**(2), pp. 205-212 (2016).
21. Mola-Abasi, H. and Shooshpasha, I. "Influence of zeolite and cement additions on mechanical behavior of sandy soil", *Journal of Rock Mechanics and Geotechnical Engineering*, **8**(5), pp. 746-752 (2016).
22. Izadpanah, S., Shooshpasha, I. and Hajiannia, A. "The impact of zeolite on mineralogy changes and compressive strength development of cement-treated sand mixtures through microstructure analysis", *Scientia Iranica*, **28-3**(3), pp. 1182-1194 (2020).
23. MolaAbasi, H. "The experimental evaluation of the behavior of babolsar sand stabilized with zeolite and cement", *Ph.D. Thesis*, Babol Noshirvani Uni. Tech (1395).